

Исследование воздействия векторных случайных нагрузок на балки

А.М. Казиев, В.Х. Хуранов, О.В. Костенко

*ФГБОУ ВО «Кабардино-Балкарский государственный университет им Х.М. Бербекова»,
Нальчик, Россия*

Аннотация: Исследованы поперечные колебания балок постоянного сечения с учётом демпфирования. Рассмотрены случайные колебания балки под действием векторных кинематических и динамических воздействий. На примерах показаны влияние коэффициентов корреляции на среднеквадратические отклонения сечений балки. Определены внутренние силы в виде изгибающих моментов и поперечных сил. Приведён пример действия случайного процесса со скрытой периодичностью.

Ключевые слова: балка, демпфирование, прогиб, изгибающий момент, поперечная сила, случайный процесс, спектральная матрица, корреляция, вектор, матрица, передаточная функция.

Балки и колонны в виде стержней постоянного сечения самые распространённые конструктивные несущие элементы, применяемые в строительстве и в других областях. Многие внешние воздействия имеют случайный характер [1], [2], [3]. Эти действия могут быть динамическими, кинематическими [4] и комбинированными [5]. Действие таких нагрузок, в виде случайного процесса со скрытой периодичностью, исследовалось автором в статье [6]. Этим вопросам посвящались и работы зарубежных [7-9] и отечественных авторов [10], [11].

В данной работе автор рассматривает одновременное действие таких нагрузок. Причём учитывается их матрица коэффициентов корреляции, с помощью которого можно регулировать их «синфазность». Получены формулы для определения перемещений, изгибающих моментов и поперечных сил.

Вынужденные случайные колебания

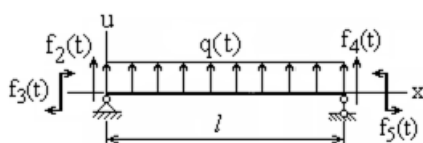


Рис. 1. Установившиеся колебания балки шарнирно опертыми концами

(рис.1) в общей постановке имеет вид

$$\ddot{u} + 2\varepsilon\dot{u} + a^4 u^{IV} = f_1(t), \quad f_1(t) = q(t) / \rho S, \quad x \in (0, l), t > -\infty.$$

$$u(0, t) = f_2(t), \quad EJ u''(0, t) = f_3(t), \quad u(l, t) = f_4(t), \quad EJ u''(l, t) = f_5(t).$$

Допустим на балку действует возмущение, которое является случайным стационарным и векторным

$$f(x, t) = \{f_1(t), f_2(t), f_3(t), f_4(t), f_5(t)\},$$

где компоненты являются стационарно связанными, математическим ожиданием равным нулю и с заданной спектральной матрицей

$$S_f(\omega) = \begin{pmatrix} s_{11}(\omega) & s_{12}(\omega) & \dots & s_{15}(\omega) \\ s_{21}(\omega) & s_{22}(\omega) & \dots & s_{25}(\omega) \\ \dots & \dots & \dots & \dots \\ s_{51}(\omega) & s_{52}(\omega) & \dots & s_{55}(\omega) \end{pmatrix}, \quad (1)$$

и являющуюся эрмитовой, и в результате чего $s_{ij}(\omega) = s_{ji}^*(\omega)$.

В установившемся режиме $u(x, t)$ - центрировано пространственно-временное случайное поле, стационарное во времени и неоднородное в пространственной координате. Далее ставится задача имея спектральную матрицу входного случайного процесса необходимо определить спектральную плотность и дисперсию выходного процесса. Функция математического ожидания перемещений сечений балки по заданному вектору математических ожиданий возмущений $m_f(x) = \{m_1, m_2, m_3, m_4, m_5\}$ является традиционной.

Для этого используем передаточные функции

$$H_j(x, i\Omega_j), \quad j = 1, 2, \dots, 5.$$

Спектральная плотность случайного процесса колебаний вычисляется по следующей формуле

$$S_u(x, \omega) = \sum_k \sum_j H_k(x, i\omega) H_j^*(x, i\omega) s_{kj}(\omega).$$

В векторно-матричной форме

$$S_u(x, \omega) = H^T(x, i\omega) S_f(\omega) H^*(x, i\omega), \quad (2)$$

где $H(x, i\omega)$ – вектор-столбец.

Теперь дисперсия отклонений определяется по известному соотношению

$$D_u(x) = \int_{-\infty}^{\infty} S_u(x, \omega) d\omega. \quad (3)$$

И учитывая чётность S_u , можно сократить вычисления

$$D_u(x) = 2 \int_0^{\infty} S_u(x, \omega) d\omega.$$

Введём вектор

$$X = \{ x_1, x_2, \dots, x_n \}, \quad x_j = (j-1)\Delta x, \quad j = 1, 2, \dots, n,$$

Δx – шаг разбивки. Вектор X устанавливается в соответствии со значением функции спектральной плотности

$$S_u(x_j, \omega) = H^T(x_j, i\omega) S_f(\omega) H^*(x_j, i\omega), \quad j = 1, 2, \dots$$

определяемой формулой (2). Здесь

$$H(x_j, i\omega) = \{ H_1(x_j, i\omega), H_2(x_j, i\omega), H_3(x_j, i\omega), H_4(x_j, i\omega), H_5(x_j, i\omega) \}^T$$

– вектор-столбец передаточных функций.

Введём норму для функции $S_u(x_j, \omega)$, учитывая то, что спектральная плотность является положительной величиной, её запишем в виде

$$\| S_u(X, \omega) \| = \sum_{j=1}^n S_u(x_j, \omega), \quad \omega \in [0, \infty). \quad (4)$$

Постепенно увеличивая ω норма (4) будет уменьшаться. Тогда с большим шагом увеличивая ω , можно найти её наименьшее значение Ω , которое удовлетворяет условию

$$\|S_u(x_j, \Omega)\| < \mu,$$

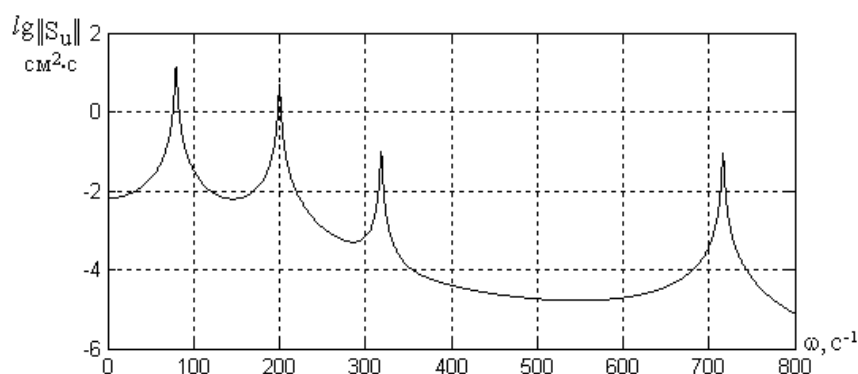
где μ – малое положительное число, от которого зависит точность вычислений.

Пример. Возьмём стальную балку сечением двутавр № 14, $l = 6$ м, $\rho = 7850$ кг/м³, $E = 210$ ГПа, $S = 17,4$ см², $J = 573$ см⁴, $\varepsilon = 0,9c^{-1}$.

Векторный процесс возмущения примем стационарным со стационарно связанными компонентами и скрытой периодичностью. Элементы матрицы (1) примут вид

$$s_{jk}^f(\omega) = \frac{2\alpha_{jk}\theta_{jk}^2\rho_{jk}\sigma_j\sigma_k}{\pi[(\omega^2 - \theta_{jk}^2)^2 + 4\alpha_{jk}^2\omega^2]}, \quad \theta_{jk}^2 = \alpha_{jk}^2 + \beta_{jk}^2, \quad j, k = 1, 2, \dots, 5.$$

Здесь α_{jk} – параметр широкополосности, β_{jk} – характерная частота, ρ_{jk} – элементы нормированной корреляционной матрицы, σ_j – среднеквадратические отклонения процессов $f_j(t)$.



$\sigma_1 = 760 \text{ Н/м}, \quad \sigma_2 = 5 \text{ мм}, \quad \sigma_3 = 1800 \text{ Нм}, \quad \sigma_4 = 9 \text{ мм}, \quad \sigma_5 = 950 \text{ Нм}.$

$\beta_{jk} = 2 \text{ с}^{-1}$ (кривая 1), 35 с^{-1} (2), 46 с^{-1} (3), 310 с^{-1} (4), 620 с^{-1} (5);
 $j, k = 1, 2, \dots, 5.$

Нумерация кривых указана по рис. 3, где приводятся результаты вычислений.

Параметры широкополосности примем

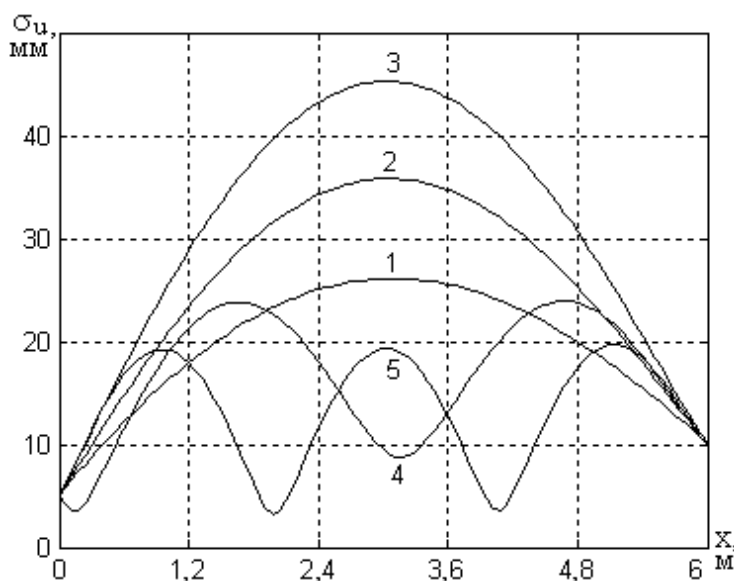
$\alpha_{jk} = 0.9 \text{ с}^{-1}, \quad j, k = 1, 2, \dots, 5.$

Рис. 2. Зависимость нормы спектральной плотности

Элементы нормированной корреляционной матрицы приравняем к единице со знаками, которые учитывают направления

$$P = \begin{pmatrix} 1 & 1 & -1 & 1 & -1 \\ 1 & 1 & -1 & 1 & -1 \\ -1 & -1 & 1 & -1 & 1 \\ 1 & 1 & -1 & 1 & -1 \\ -1 & -1 & 1 & -1 & 1 \end{pmatrix}.$$

Наивысший предел и минимальный шаг интегрирования определяется по методу, описанному выше. График нормы спектральной плотности (4) примет вид, показанный на рис 2 при следующих частотах



$\beta_{jk} = 210 \text{ с}^{-1}, \quad j, k = 1, 2, \dots, 5.$

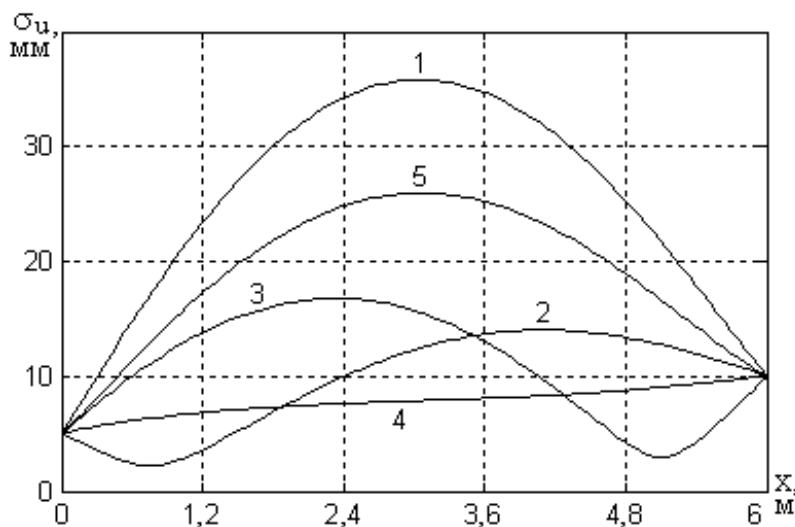
Как видно по графику максимумы собственных частот $319,4 \text{ с}^{-1}$ и $716,5$ и далее практически неразличимы. Для построения графика использована функция десятичного логарифма. Максимумы на

Рис. 3. Влияние характерной частоты первой собственной частоте возмущений на среднеквадратические отклонения перемещений.

79,6 с⁻¹ и характерной частоте возмущений 210 с⁻¹ существенно больше, чем на обертонах. Поэтому большое значение будет иметь интегрирование в области, находящихся близко к указанным частотам. Предел интегрирования Ω можно принят равным 500 с⁻¹. Шаг интегрирования при этом был равным 0,05 с⁻¹.

Для изучения влияния коррелированности случайных возмущений промоделируем с помощью пяти соответствующих нормированных корреляционных матриц

$$P_1 = \begin{pmatrix} 1 & 1 & -1 & 1 & -1 \\ 1 & 1 & -1 & 1 & -1 \\ -1 & -1 & 1 & -1 & 1 \\ 1 & 1 & -1 & 1 & -1 \\ -1 & -1 & 1 & -1 & 1 \end{pmatrix}, P_2 = \begin{pmatrix} 1 & -1 & 1 & 1 & -1 \\ -1 & 1 & -1 & -1 & 1 \\ 1 & -1 & 1 & 1 & -1 \\ 1 & -1 & 1 & 1 & -1 \\ -1 & 1 & -1 & -1 & 1 \end{pmatrix},$$



$$P_3 = \begin{pmatrix} 1 & 1 & -1 & -1 & 1 \\ 1 & 1 & -1 & -1 & 1 \\ -1 & -1 & 1 & 1 & -1 \\ -1 & -1 & 1 & 1 & -1 \\ 1 & 1 & -1 & -1 & 1 \end{pmatrix},$$

$$P_4 = \begin{pmatrix} 1 & -1 & 1 & -1 & 1 \\ -1 & 1 & -1 & 1 & -1 \\ 1 & -1 & 1 & -1 & 1 \\ -1 & 1 & -1 & 1 & -1 \\ 1 & -1 & 1 & -1 & 1 \end{pmatrix},$$

Рис. 4. Влияние коррелированности компонентов вектора возмущений на среднеквадратические отклонения

$$P_5 = \begin{pmatrix} 1 & 0 & 0 & 0 & 0 \\ 0 & 1 & -1 & 1 & -1 \\ 0 & -1 & 1 & -1 & 1 \\ 0 & 1 & -1 & 1 & -1 \\ 0 & -1 & 1 & -1 & 1 \end{pmatrix}.$$

Проведём вычисления при фиксированных значениях характерных частот

$$\beta_{jk} = 10 \text{ с}^{-1}, \quad j, k = 1, 2, 3.$$

Результаты представлены на рис. 4, где номера кривых соответствуют номерам корреляционных матриц. Нормированная корреляционная матрица в случайных колебаниях играет ту же роль, что и сдвиги фаз возмущений в гармонических колебаниях.

Максимум и шаг интегрирования, следующие $\Omega = 510 \text{ с}^{-1}$, $\Delta\omega = 0,10 \text{ с}^{-1}$.

Внутренние силы в поперечных сечениях

Для анализа прочности балки необходимо знать величину изгибающих моментов и поперечных сил в сечениях балки. Как известно, у балки между прогибами и внутренними силами существуют соотношения

$$M(x, t) = EJ u''(x, t), \quad Q(x, t) = EJ u'''(x, t). \quad (5)$$

Через функции $u(x, t)$ можно найти внутренние силы.

При гармонических возмущениях общая формула определения перемещений имеет вид произведения векторов

$$u(x, t) = [A, \mathbf{v}(x, t)] = A^T \mathbf{v}(x, t).$$

Применение операций (4) даёт

$$M(x, t) = EJA^T \mathbf{v}''(x, t), \quad Q(x, t) = EJA^T \mathbf{v}'''(x, t). \quad (6)$$

Здесь A и \mathbf{v} – ранее принятые обозначения для векторов комплексных амплитуд возмущений и функций перемещений. Последние, в свою очередь, определяются через передаточные функции

$$v_k(x, t) = H_k(x, i\Omega_1) e^{i\Omega_k t}, \quad k = 1, 2, \dots, 5.$$

Следовательно,

$$v_k''(x, t) = H_k''(x, i\Omega) e^{i\Omega_k t}, \quad v_k'''(x, t) = H_k'''(x, i\Omega) e^{i\Omega_k t}. \quad k = 1, 2, \dots, 5. \quad (7)$$

Передаточные функции изгибающего момента и поперечной силы

$$H_1^M(x, i\Omega_1) = H_1''(x, i\Omega_1) = b^2(-C_1 \sin bx - C_2 \cos bx + C_3 \operatorname{sh} bx + C_4 \operatorname{ch} bx). \quad (8)$$

$$H_1^Q(x, i\Omega_1) = H_1'''(x, i\Omega_1) = b^3(-C_1 \cos bx + C_2 \sin bx + C_3 \operatorname{ch} bx + C_4 \operatorname{sh} bx). \quad (9)$$

Производные других передаточных функций находятся аналогично

$$H_2^M(x, i\Omega_2) = H_2''(x, i\Omega_2) = b^2 [-C_1 \sin b(l-x) + C_3 \operatorname{sh} b(l-x)], \quad (10)$$

$$H_2^Q(x, i\Omega_2) = H_2'''(x, i\Omega_2) = b^3 [C_1 \cos b(l-x) - C_3 \operatorname{ch} b(l-x)], \quad (11)$$

$$H_3^M(x, i\Omega_3) = H_3''(x, i\Omega_3) = b^2 [-C_1 \sin b(l-x) + C_3 \operatorname{sh} b(l-x)], \quad (12)$$

$$H_3^Q(x, i\Omega_3) = H_3'''(x, i\Omega_3) = b^3 [C_1 \cos b(l-x) - C_3 \operatorname{ch} b(l-x)], \quad (13)$$

$$H_4^M(x, i\Omega_4) = H_4''(x, i\Omega_4) = b^2 (-C_1 \sin bx + C_3 \operatorname{sh} bx), \quad (14)$$

$$H_4^Q(x, i\Omega_4) = H_4'''(x, i\Omega_4) = b^3 (-C_1 \cos bx + C_3 \operatorname{ch} bx), \quad (15)$$

$$H_5^M(x, i\Omega_5) = H_5''(x, i\Omega_5) = b^2 (-C_1 \sin bx + C_3 \operatorname{sh} bx), \quad (16)$$

$$H_5^Q(x, i\Omega_5) = H_5'''(x, i\Omega_5) = b^3 (-C_1 \cos bx + C_3 \operatorname{ch} bx). \quad (17)$$

Для случайных колебаний задача сводится к определению спектральной плотности, а затем и дисперсии внутренних сил по заданной спектральной матрице возмущений. Соотношения между спектральными плотностями внутренних сил и возмущений аналогичны (2)

$$S_M(x, \omega) = \mathbf{H}_M^T(x, i\omega) \mathbf{S}_f(\omega) \mathbf{H}_M^*(x, i\omega) (EJ)^2,$$

$$S_Q(x, \omega) = \mathbf{H}_Q^T(x, i\omega) \mathbf{S}_f(\omega) \mathbf{H}_Q^*(x, i\omega) (EJ)^2.$$

Соответствующие дисперсии определяются с помощью интегралов

$$D_M(x) = 2 \int_0^{\infty} S_M(x, \omega) d\omega, \quad D_Q(x) = 2 \int_0^{\infty} S_Q(x, \omega) d\omega. \quad (18)$$

Интегрирование в (18) проведем численным методом по алгоритмам, которые применяются для вычисления дисперсии перемещений.

По известным характеристикам прогибов и внутренних сил, можно определить характеристики нормальных и касательных напряжений при помощи линейных отображений. По известным методам решаем вопросы прочности, выносливости и жёсткости балки.

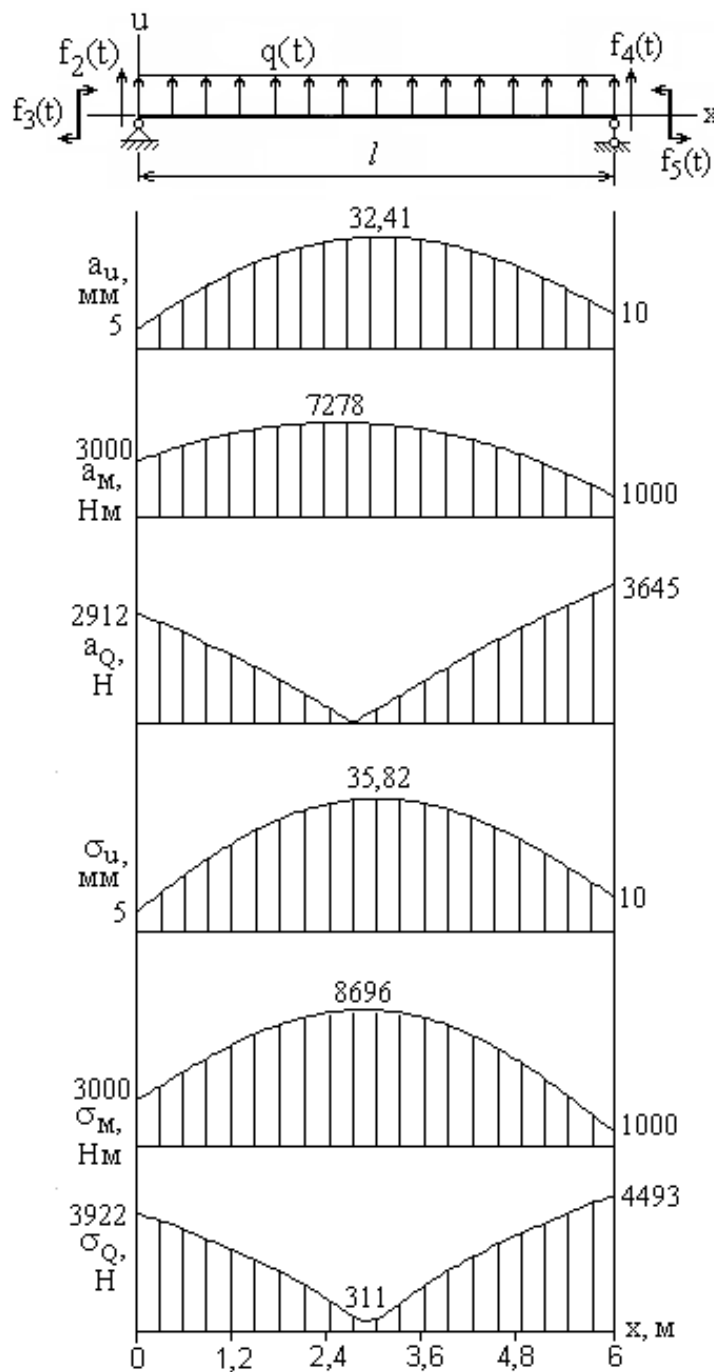


Рис. 5. Эпюры амплитуд и среднеквадратических отклонений перемещений, изгибающих моментов

Пример. Для выполнения вычислений возьмём ту же стальную балку из двутавра № 14 со свободно опертыми концами, которая рассмотрена выше, и имеет параметры $l = 6$ м, $\rho = 7850 \text{ кг/м}^3$, $E = 210$ ГПа, $S = 17,4 \text{ см}^2$, $J = 573 \text{ см}^4$, $\varepsilon = 1 \text{ с}^{-1}$, $\beta_{jk} = 16 \text{ с}^{-1}$ (2), $\sigma_q = 800$ Н/м, $\sigma_2 = 6$ мм, $\sigma_3 = 2500$ Нм, $\sigma_4 = 9$ мм, $\sigma_5 = 2000$ Нм.

С использованием полученных формул проведены вычисления и построены эпюры амплитуд и среднеквадратических отклонений, показанные графиками рис. 5. Анализ форм этих кривых подтверждает зависимости между u , M и Q , хорошо известные из курса сопротивления материалов.

Литература

1. Болотин В.В. Случайные колебания упругих систем. М.: Наука, 1979. 335 с.
 2. Вентцель Е.С. Овчаров Л.А. Теория случайных процессов и её инженерные приложения. М.: Высш. шк., 2000. 383 с.
 3. Вольмир А.С., Культербаев Х.П. Стохастическая устойчивость вынужденных нелинейных колебаний оболочек. ПММ. 1974. Т.38, вып.5. С. 893-898.
 4. Культербаев Х.П. Кинематически возбуждаемые случайные колебания балок. Инженерно-технические науки. Материалы научно-практической конференции 1994. Нальчик: Каб.-Балк. гос. с/х акад. 1995. Ч. 3. С. 23-27.
 5. Культербаев Х.П., Казиев А.М., О случайных колебаниях растянутых балок. Математическое моделирование и краевые задачи. Самара: Сам. гос. тех. ун-т. 2003. С. 100-103.
 6. Казиев А.М., О влиянии характерной частоты и широкополосности случайной нагрузки на колебания балок. Вопросы повышения эффективности строительства. Межвузовский сборник. Нальчик: КБГСХА, 2004. Вып. 2. С. 79-83.
 7. Gajewski Antoni. Vibrations and stability of a non-conservatively compressed prismatic column under nonlinear creep conditions. J. Theor. and Appl. Mech. (Poland), 2000. 38. – № 2. – pp. 259-270.
 8. Keltie R.F., Cheng C.C. Vibration reduction of a mass-loaded beam. J. Sound and Vibr, 1995. № 2, pp. 213-228.
 9. Simion F.P., Decolon Chr., Staicu St. Study of vibrations in a rod submit to viscous frictions. Sci. Bull. D. "Politehn." Univ. Bucharest., 1998. № 1. pp. 55-59.
 10. Хуранов В.Х., Лихов З.Р., Казиев А.М., Шерибов Ш.М. Железобетонные ребристые плиты покрытий с переменным усилием преднапряжения вдоль пролета // Инженерный вестник Дона, 2015, №2. URL: ivdon.ru/magazine/archive/n2y2015/2893.
-



11. Шогенов Б.В., Ногеров И.А., Казиев А.М. К вопросу о снижении шума в зубчато-ременных передачах // Инженерный вестник Дона, 2015, №3. URL: ivdon.ru/magazine/archive/n3y2015/3269.

References

1. Bolotin V.V. Sluchajnye kolebaniya uprugih sistem [Random oscillation of elastic systems] M.: Nauka, 1979. 335 p.
2. Ventcel' E.S. Ovcharov L.A. Teoriya sluchajnyh processov i eyo inzhenernye prilozheniya. [The theory of random processes and its engineering applications] M.: Vyssh. shk., 2000. 383p.
3. Vol'mir A.S., Kul'terbaev H.P. Stokhasticheskaya ustojchivost' vyzhdennyh nelinejnyh kolebanij obolochek. PMM. 1974. T.38, vyp.5. pp. 893-898.
4. Kul'terbaev H.P. Kinematicheski vzbuzhdaemye sluchajnye kolebaniya balok. Inzhenerno-tehnicheskie nauki. Materialy nauchno-prakticheskoy konferencii 1994. Nal'chik: Kab.-Balk. gos. s/h akad. 1995. CH. 3. pp. 23-27.
5. Kul'terbaev H.P., Kaziev A.M., O sluchajnyh kolebaniyah rastyanutyh balok. Matematicheskoe modelirovanie i kraevye zadachi. Samara: Sam. gos. tekhn. un-t. 2003. pp. 100-103.
6. Kaziev A.M., O vliyanih harakternoj chastoty i shirokopolosnosti sluchajnoj nagruzki na kolebaniya balok. Voprosy povysheniya ehffektivnosti stroitel'stva. Mezhvuzovskij sbornik. Nal'chik: KBGSKHA, 2004. Vyp. 2. pp. 79-83.
7. Gajewski Antoni. Vibrations and stability of a non-conservatively compressed prismatic column under nonlinear creep conditions. J. Theor. and Appl. Mech. (Poland), 2000. 38. № 2. pp. 259-270.
8. Keltie R.F., Cheng C.C. Vibration reduction of a mass-loaded beam. J. Sound and Vibr, 1995. № 2, pp. 213-228.
9. Simion F.P., Decolon Chr., Staicu St. Study of vibrations in a rod submit to viscous frictions. Sci. Bull. D. "Politehn." Univ. Bucharest, 1998. № 1. pp. 55-59.



10. Khuranov V.Kh, Lihov Z.R., Kaziev A.M., Sheribov Sh.M. Inzhenernyj vestnik Dona (Rus), 2015, №2. URL: ivdon.ru/magazine/archive/n2y2015/2893.
11. Shogenov B.V., Nogerov I.A., Kaziev A.M. Inzhenernyj vestnik Dona (Rus), 2015, №3. URL: ivdon.ru/magazine/archive/n3y2015/3269.